

Министерство науки и высшего образования Российской Федерации  
Федеральное государственное автономное образовательное учреждение  
высшего образования  
«Национальный исследовательский ядерный университет МИФИ»  
(НИЯУ МИФИ)

ОТЧЁТ О  
НАУЧНО-ИССЛЕДОВАТЕЛЬСКОЙ РАБОТЕ

**ИЗУЧЕНИЕ УСТОЙЧИВОСТИ РАСПРЕДЕЛЕНИЯ  
СКАЛЯРНЫХ ПОЛЕЙ В ДОПОЛНИТЕЛЬНЫХ  
ИЗМЕРЕНИЯХ**

Научный руководитель \_\_\_\_\_ д. ф. - м. н., проф. С.Г. Рубин

Студент \_\_\_\_\_ В.О. Юшин

Москва 2022

# Содержание

1	Постановка задачи и основные формулы	2
2	Переход к уравнению Шрёдингера	3
3	Анализ потенциала для $n \geq 10$	7
4	Анализ потенциала для $1 < n < 10$	10
5	Итог и дальнейшая работа	12

# 1 Постановка задачи и основные формулы

Проблема иерархии масштабов заключается в том, что гравитация в  $10^{24}$  раз слабее слабого взаимодействия, т.к. масса Планка велика:  $M_{Pl} \sim 10^{19} GeV$ . В дополнительных измерениях масса планка может быть меньше и гравитация встанет в один ряд с остальными взаимодействиями. Для  $D$ -мерного пространства можно записать действие скалярного поля; вариация действия приводит к классическим уравнениям, из которых получаются структуры, они должны быть устойчивы.

Задача состоит в исследовании на устойчивость скалярного поля  $w$  в  $D$ -мерном пространстве [ $D = 4 + n$ ]. Она сводится к исследованию на устойчивость решений уравнения Клейна-Гордона:

$$\square w = -W'_w(w), \quad W(w) = \frac{1}{2}m^2w^2, \quad \square \equiv \square_D. \quad (1)$$

Метрика  $D$ -мерного пространства:

$$ds^2 = e^{2\gamma(u)} \left( dt^2 - e^{2Ht} \delta_{ij} dx^i dx^j \right) - du^2 - r^2(u) d\Omega_{n-1}^2, \quad i, j = \overline{1, 3} \quad (2)$$

[с учётом переименования координаты  $x^4 \equiv u$ ]. В дальнейшем будем считать  $w = w(t, u)$  – скалярная функция в пространстве с дополнительными измерениями,  $\gamma(u) = 0$  и то, что функция  $r(u)$  известна [является решением стационарной системы, её вид представлен на рис. 1].

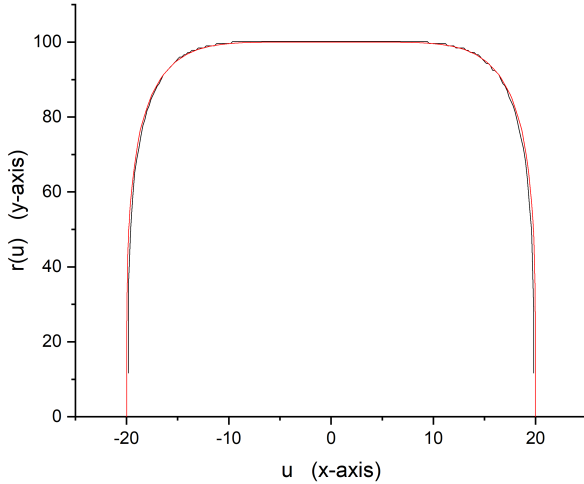


Рис. 1: График  $r(u)$ .

Черной линией показан изначальный набор данных, не имеющих аналитической зависимости, красной линией показана фитирующая функция для данного набора данных. Была выбрана функция  $|x/a|^k + |y/b|^l = 1$ , при  $a = 20$ ,  $b = 100$ ,  $k = 6$ ,  $l = 4$ .

В последнем слагаемом метрики (2),  $d\Omega_{n-1}^2$  является метрикой  $(n - 1)$ -мерной поверхности единичной сферы в  $D$ -мерном пространстве, её вид:

$$d\Omega_{n-1}^2 = (dx^5)^2 + (dx^6)^2 \sin^2(x^5) + (dx^7)^2 \sin^2(x^5) \sin^2(x^6) + \dots$$

$$\dots + (dx^{n+3})^2 \prod_{k=5}^{n+2} \sin^2(x^k).$$

## 2 Переход к уравнению Шрёдингера

Преобразуем исходное уравнение (1) к виду стационарного уравнения Шрёдингера, его легче исследовать на устойчивость. Для начала явно распишем даламбертиан в многомерном пространстве, действующий на  $w$ :

$$\begin{aligned}
 \square w &= \frac{1}{\sqrt{|g|}} \frac{\partial}{\partial x^\nu} \left( \sqrt{|g|} g^{\mu\nu} \frac{\partial w}{\partial x^\mu} \right) = \\
 &= \frac{1}{\sqrt{|g|}} \left( \frac{\partial w}{\partial x^\mu} \cdot \frac{\partial}{\partial x^\nu} \left( \sqrt{|g|} g^{\mu\nu} \right) + \sqrt{|g|} g^{\mu\nu} \cdot \frac{\partial^2 w}{\partial x^\mu \partial x^\nu} \right) = \\
 &= \partial_\mu w \cdot \left[ \frac{1}{2} g^{\mu\nu} g^{\lambda\rho} \partial_\nu g_{\lambda\rho} + \partial_\nu g^{\mu\nu} \right] + g^{\mu\nu} \cdot \partial_\mu \partial_\nu w . \tag{3}
 \end{aligned}$$

Видно, что обнулить выражение (3) могут производные от  $w$ , они в свою очередь не будут равны нулю только если берутся по переменным  $t$  и  $u$  [т.к.  $w = w(t, u)$ ]. Кроме того, метрический тензор диагонален [это видно из того, что в метрику (2) входят квадраты переменных]. Следовательно, всюду:  $\mu = \nu$  и  $\lambda = \rho$ . Перед дальнейшими преобразованиями введём обозначения:  $\partial_\xi \partial_\xi w \equiv \partial_{\xi\xi}^2 w \equiv \partial_\xi^2 w$ .

• При  $\mu = \nu = t$  выражение (3) принимает вид:

$$\begin{aligned}
 \partial_t w \cdot \left[ \frac{1}{2} g^{tt} (g^{\lambda\lambda} \partial_t g_{\lambda\lambda}) + \partial_t g^{tt} \right] + g^{tt} \cdot \partial_t^2 w &= \\
 = 3\partial_t w \cdot \left[ \frac{1}{2} \left( \frac{1}{e^{2Ht}} 2H e^{2Ht} \right) + 0 \right] + \partial_t^2 w &= \\
 = 3H\partial_t w + \partial_t^2 w .
 \end{aligned}$$

• При  $\mu = \nu = u$ :

$$\begin{aligned}
 \partial_u w \cdot \left( \frac{1}{2} g^{uu} (g^{\lambda\lambda} \partial_u g_{\lambda\lambda}) + \partial_u g^{uu} \right) + g^{uu} \cdot \partial_u^2 w &= \\
 = -\partial_u w \cdot \frac{n-1}{r} \partial_u r - \partial_u^2 w .
 \end{aligned}$$

Теперь можем свести уравнение (1) для функции  $w(t, u)$  к виду

$$\partial_t^2 w + 3H\partial_t w - \partial_u^2 w - \frac{n-1}{r} \partial_u r \cdot \partial_u w = -W'_w(w) . \tag{4}$$

Будем рассматривать функцию  $w(t, u)$  как суперпозицию стационарной функции  $w_s$ , являющейся решением классического уравнения, и малого отклонения от этого стационарного значения  $\delta w$ :

$$w(t, u) = w_s(u) + \delta w(t, u) . \tag{5}$$

Преобразуя левую часть выражения (4) и оставляя правую неизменной, получаем:

$$\begin{aligned} \partial_t^2(\delta w) + 3H\partial_t(\delta w) - \partial_u^2(\delta w) - \frac{n-1}{r}\partial_u r \cdot \partial_u(\delta w) + \\ + \left[ -\partial_u^2(w_s) - \frac{n-1}{r}\partial_u r \cdot \partial_u(w_s) \right] = -W'_w(w) . \end{aligned} \quad (6)$$

Отдельно правая часть выражения (4) преобразуется следующим образом:

$$-W'_w(w) = -W'_w(w_s + \delta w) = -W'_w(w_s) - W''_w(w_s) \cdot \delta w .$$

Выражение для  $-W'_w(w_s)$  находим, подставляя  $w_s$  в исходное (4). Видим, что выражение совпадает с выражением в квадратных скобках [...] уравнения (6):

$$-W'_w(w_s) = -\partial_u^2(w_s) - \frac{n-1}{r}\partial_u r \cdot \partial_u(w_s) = [\dots] .$$

В итоге уравнение (4) с учётом представления (5) приобретает вид:

$$\partial_t^2(\delta w) + 3H\partial_t(\delta w) - \partial_u^2(\delta w) - \frac{n-1}{r}\partial_u r \cdot \partial_u(\delta w) = -W''_w \cdot \delta w . \quad (7)$$

Для исследования устойчивости решений представим малые отклонения в следующем виде:

$$\delta w = C(u)e^{i\lambda t} . \quad (8)$$

При  $H = 0$  и с учётом (8) уравнение (7) будет выглядеть так:

$$-C(u)\lambda^2 e^{i\lambda t} - e^{i\lambda t}\partial_u^2 C(u) - \frac{n-1}{r}e^{i\lambda t}\partial_u r \cdot \partial_u C(u) = -W''_w \cdot C(u)e^{i\lambda t} .$$

Группируя подобные приводить к следующему выражению

$$\partial_u^2 C(u) + \frac{n-1}{r}\partial_u r \cdot \partial_u C(u) = [W''_w - \lambda^2]C(u) . \quad (9)$$

Для того чтобы свести уравнение (9) к выражению вида уравнения Шрёдингера, необходимо сделать замены:

$$C(u) = Q(u) \cdot \Psi(u) , \quad Q(u) = r(u)^{(1-n)/2} . \quad (10)$$

Подставляя замены (10) в уравнение (9), получаем:

$$\partial_u \{ \Psi \cdot \partial_u Q + Q \cdot \partial_u \Psi \} + \frac{n-1}{r}\partial_u r \{ \Psi \cdot \partial_u Q + Q \cdot \partial_u \Psi \} = [W''_w - \lambda^2] Q \Psi .$$

Проводя дальнейшие преобразования,

$$\begin{aligned} \Psi \cdot \partial_u^2 Q + \underline{2\partial_u Q \cdot \partial_u \Psi} + Q \cdot \partial_u^2 \Psi + \frac{n-1}{r} \partial_u r \cdot \partial_u Q \cdot \Psi + \\ + \underline{\underline{\frac{n-1}{r} \partial_u r \cdot Q \cdot \partial_u \Psi}} = [W_w'' - \lambda^2] Q \Psi , \end{aligned}$$

видно, что слагаемые подчёркнутые одной и двумя чертами противоположны, и они компенсируют друг друга,  $\underline{(\dots)} = -\underline{\underline{(\dots)}}$ :

$$\begin{aligned} \underline{(\dots)} &= 2 \frac{1-n}{2} r^{(1-n)/2} r^{-1} \partial_u r \cdot \partial_u \Psi = -(n-1) r^{(1-n)/2} r^{-1} \partial_u r \cdot \partial_u \Psi , \\ \underline{\underline{(\dots)}} &= (n-1) r^{(1-n)/2} r^{-1} \partial_u r \cdot \partial_u \Psi . \end{aligned}$$

Переобозначая написание производных

$$\partial_u^2 \square \equiv \square'' , \quad \partial_u \square \equiv \square' ,$$

приходим к выражению:

$$\Psi'' - \Psi \cdot \left[ W_w'' - \lambda^2 - \frac{Q''}{Q} - (n-1) \frac{r'}{r} \frac{Q'}{Q} \right] = 0 ,$$

оно совпадает по виду с уравнением Шрёдингера:

$$\Psi'' - \Psi(-E + V) = 0 , \quad (11)$$

при

$$E = \lambda^2 , \quad V = W_w'' - \frac{Q''}{Q} - (n-1) \frac{r'}{r} \frac{Q'}{Q} . \quad (12)$$

Т.к.  $\lambda$  в общем случае является комплексным числом, то энергия  $E$  [действительная величина] может принимать как положительные, так и отрицательны значения. Глядя на (8), понимаем, что малые осцилляции не растут, если  $\text{Im}(\lambda) = 0$ , и, значит, состояния при таких  $\lambda$  будут устойчивыми. Следовательно, состояния с отрицательной энергией являются неустойчивыми.

Потенциальная энергия  $V = V(u)$ , выражения (12), при разном количестве дополнительных измерений  $n$ , имеет разный вид, он приведён на рис. 2. Отдельно стоит упомянуть, что в выражение (12) для  $V$  выходит слагаемое  $W_w'' = m^2$ , эта величина влияет только на высоту графиков.

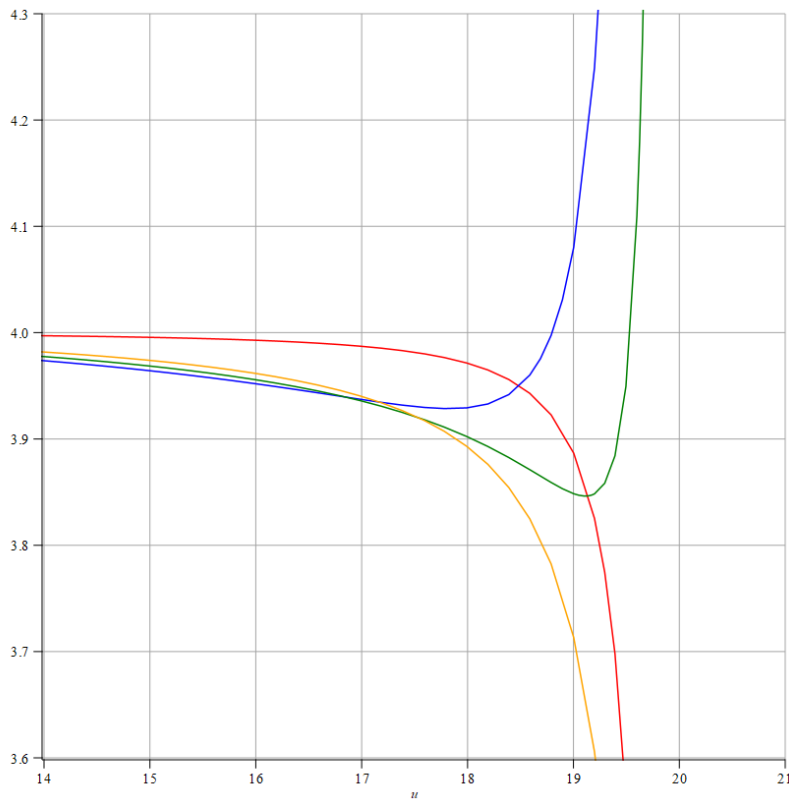


Рис. 2: График  $V(u)$  вблизи  $u = 20$ . Красная линия при  $n = 2$ , оранжевая линия при  $n = 8$ , зелёная линия при  $n = 10$ , синяя линия при  $n = 12$ . Выбрано  $m = 2$ , определяет уровень графиков как  $m^2$ .

### 3 Анализ потенциала для $n \geq 10$

Потенциалы уравнения (12) при  $n \geq 10$  имеют минимум, где их можно аппроксимировать параболой  $V_p(u)$ , стационарные уровни энергии для которой мы знаем. В малой окрестности точки минимума  $u_{min}$  первые три слагаемых разложения  $V(u)$  в ряд дают параболу  $V_p(u)$ :

$$V(u) \approx V_p(u) = V(u_{min}) + V'(u_{min}) \cdot (u - u_{min}) + \frac{V''(u_{min}) \cdot (u - u_{min})^2}{2} .$$

Для примера на рис. 3 построен график  $V(u)$  при  $n = 10$ ,  $m = 2$  и соответствующей  $V_p(u)$ .

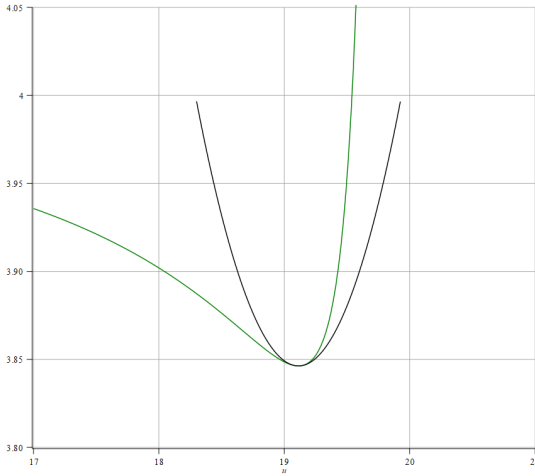


Рис. 3: График  $V(u)$  при  $n = 10$  и  $m = 2$  обозначен зелёной линией, чёрная линия – параболу  $V_p(u)$ , своей вершиной совпадающая с минимумом  $V(u)$ . Парабола задаётся уравнением  $V_p(u) = p \cdot (u - c)^2 + d$  при  $p = 0,228$ ,  $c = 19,113$  и  $d = 3,846$ .

Уравнения Шрёдингера для линейного осциллятора:

$$-\frac{\hbar^2}{2M} \Psi'' + \left[ \frac{M\omega}{2} u^2 \right] \Psi = [\mathcal{E}] \Psi . \quad (13)$$

В квадратные скобки взяты потенциальная и полная энергии осциллятора, находящегося в начале координат. Стационарные уровни энергии будут  $\mathcal{E}_z = \hbar\omega(z + 1/2)$ , где  $z = 0, 1, 2, \dots$ . Пусть  $\hbar^2/2M = 1$  и  $M = 1$ . Тогда уравнение (13) приобретает вид:

$$-\Psi'' + \left[ \frac{\omega}{2} u^2 \right] \Psi = [\mathcal{E}] \Psi , \quad (14)$$

а стационарные уровни:  $\mathcal{E}_z = \omega\sqrt{2}(z + 1/2)$ . Приведём уравнение (11) к виду (14). Потенциал  $V(u)$  в минимуме можно аппроксимировать параболой  $V_p(u)$ , которая в свою очередь представима в виде суммы параболы заданной в начале координат  $\tilde{V}_p$  и вертикального смещения  $d$  [при смещении осциллятора в плоскости задания функции  $V(u)$  по горизонтали, энергетический спектр не изменится, при вертикальной же трансляции  $d$  уровни энергии изменятся на величину трансляции]:

$$V_p(u) = \tilde{V}_p(u) + d .$$



Уравнение (11) становится следующим:

$$-\Psi'' + \tilde{V}_p \Psi = (E - d)\Psi . \quad (15)$$

Сравнивая выражения (14) и (15) видно, что:

$$\begin{aligned} \frac{\omega}{2} u^2 = p \cdot u^2 &\rightarrow \omega = 2p , \\ \mathcal{E}_{min} = \omega \frac{\sqrt{2}}{2} = E_{min} - d &\rightarrow E_{min} = p\sqrt{2} + d . \end{aligned}$$

Подставляя параметры параболы, для  $n = 10$  и  $m = 2$  получаем  $E_{min} = 4,168$ . Масса влияет только на высоту потенциала  $V(u)$ , как следствие на величину  $E_{min}$  как  $m^2$ . Чем больше масса  $m$ , тем выше энергии стационарного состояния. Поэтому при  $m = 0$  энергия  $E_{min} = 0,168$ . Следовательно, будут получаться устойчивые состояния при любой массе.

Рассматривая  $n > 10$  при  $m = 0$  получаются отрицательные значения энергии, следовательно, такие состояния не будут устойчивыми. Но с увеличением массы достигаются положительные энергии и, как следствие, устойчивые состояния. При  $n = 11$  положительная  $E_{min}$  получается от  $m \approx 0,150$ , а при  $n = 12$  от  $m \approx 0,195$ .

Для примера, на рисунке 4 изображены  $V(u)$  при  $n = 11$  и  $m = 0$  с соответствующим  $E_{min}$  – неустойчивое состояние. Напротив, на рисунке 5 изображены  $V(u)$  для  $n = 10$ ,  $n = 11$  и  $n = 12$  с соответствующими  $E_{min}$ , при  $m = 2$ , такие состояния будут устойчивыми.

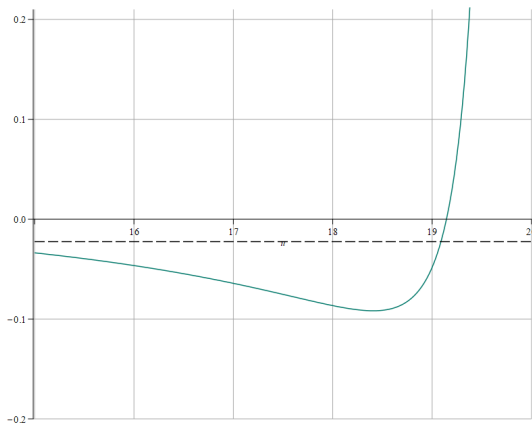
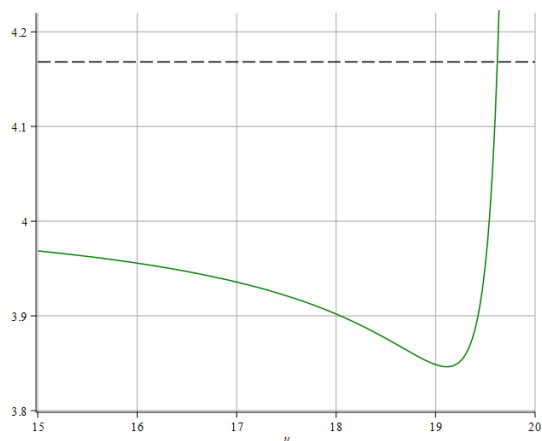
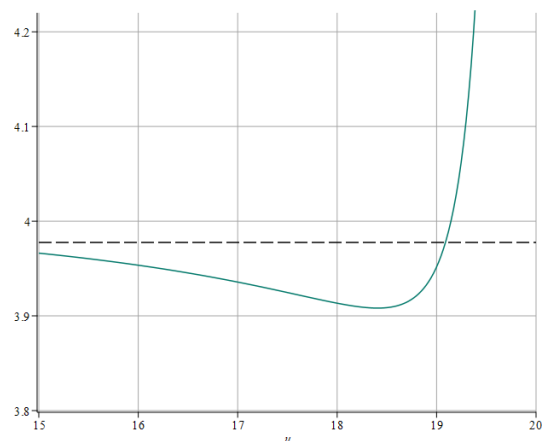


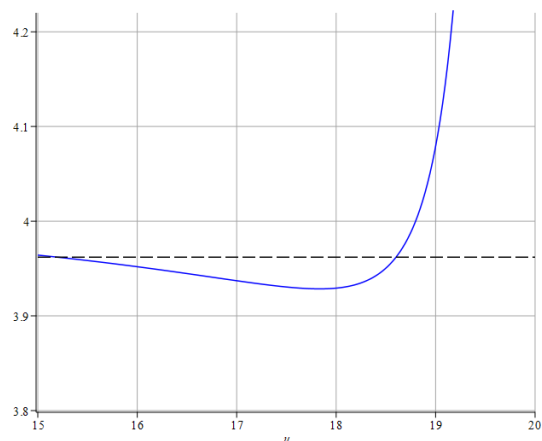
Рис. 4: График  $V(u)$  и соответствующий  $E_{min}$  при  $n = 11$  и  $m = 0$ .



при  $n = 10$



при  $n = 11$



при  $n = 12$

Рис. 5: Графики  $V(u)$  при  $n = 10$  (зелёная линия),  $n = 11$  (голубая),  $n = 12$  (синяя) и соответствующие  $E_{min}$  (обозначены черным штрихом). Всюду  $m = 2$ .

## 4 Анализ потенциала для $1 < n < 10$

В уравнение (12) при  $1 < n < 10$  имеем потенциалы подобные кулоновским, стационарные уровни такой задачи нам известны. В окрестности точки  $u = 20$  потенциал можно аппроксимировать следующим выражением:

$$V(u) \approx V_c(u) = \frac{\alpha}{u-f} + g .$$

Для кулоновского поля в самом простом случае [атом водорода] уравнение Шрёдингера и минимальная энергия [1s-подуровень] будут такими:

$$-\Psi'' + \left[ -\frac{e^2}{u} \right] \Psi = [\mathcal{E}] \Psi , \quad \mathcal{E}_{min} = -\frac{1}{4}e^4 . \quad (16)$$

Выражения записаны с учётом  $\hbar^2/2M = 1$  и  $M = 1$ . Приведем уравнение (11) к виду (16). На уровне энергии горизонтальное смещение  $f$  не влияет, поэтому в рамках поиска минимальной энергии можно считать  $V_c(u) = \tilde{V}_c(u) + g$ , где  $\tilde{V}_c(u)$  – кулоновский потенциал в начале координат,  $g$  – вертикальное смещение. Тогда уравнение (11) принимает вид:

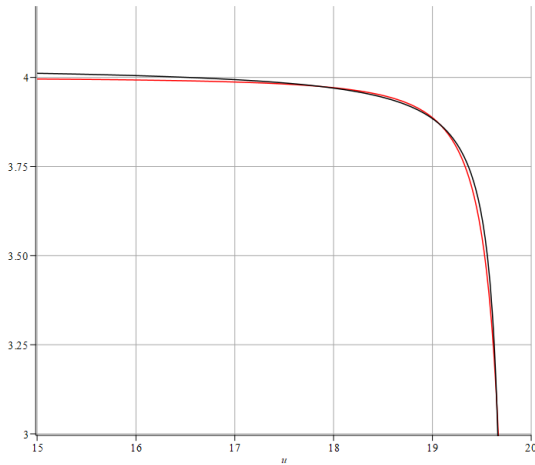
$$-\Psi'' + \tilde{V}_c \Psi = (E - g) \Psi . \quad (17)$$

Сравнивая два выражения: (17) и (16), видно:

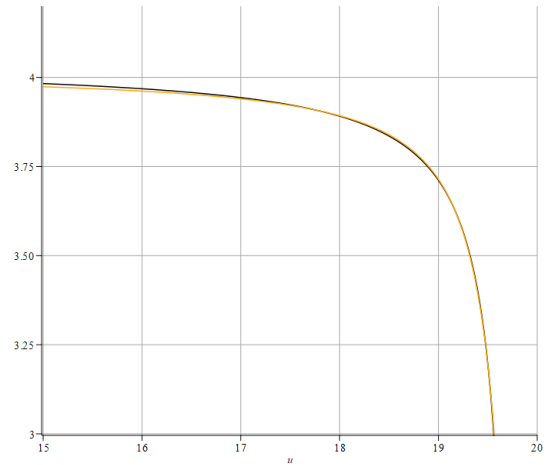
$$\begin{aligned} -\frac{e^2}{u} = \frac{\alpha}{u} &\rightarrow e^2 = -\alpha , \\ \mathcal{E}_{min} = -\frac{1}{4}e^4 = E_{min} - g &\rightarrow E_{min} = -\frac{1}{4}\alpha^2 + g . \end{aligned}$$

Из-за невозможности разложения в ряд потенциала  $V(u)$  при  $1 < n < 10$  [как это было сделано в случае  $n \geq 10$ ], параметры  $\alpha$  и  $g$  подбираются вручную, путем выбора точек при аппроксимации. На рисунке 6 построены графики  $V_c(u)$  для соответствующих  $V(u)$  при  $n = 2$  и  $n = 8$  соответственно, при  $m = 2$ . С учётом  $m = 2$  для  $n = 2$  параметры:  $\alpha = 0,118$ ,  $g = 4,036$ , отсюда  $E_{min} = 4,033$ ; для  $n = 8$ :  $\alpha = 0,267$ ,  $g = 4,038$ ,  $E_{min} = 4,020$ .

На рисунке 7 изображены  $V(u)$  для  $n = 2$  и  $n = 8$  с соответствующими  $E_{min}$ , при  $m = 2$ .

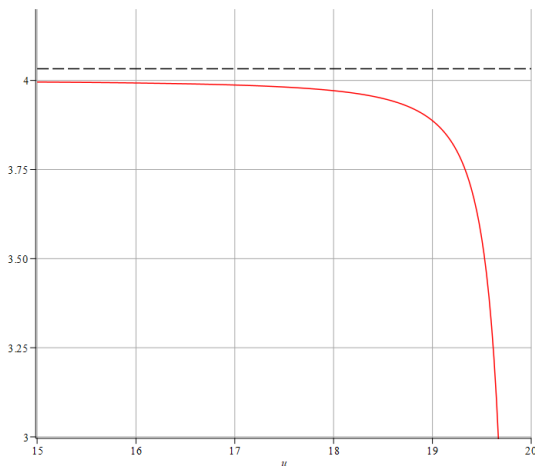


при  $n = 2$

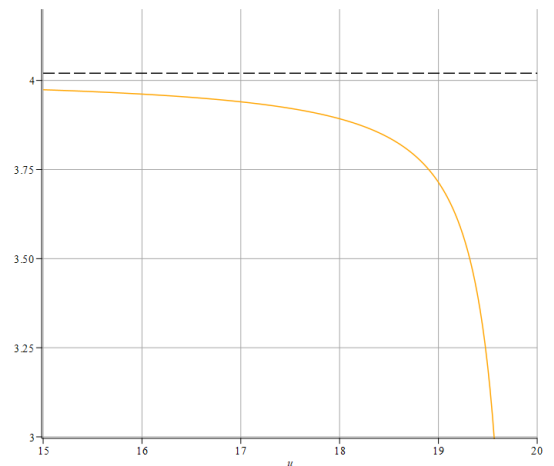


при  $n = 8$

Рис. 6: Графики  $V(u)$ : красная линия при  $n = 2$ , оранжевая линия при  $n = 8$ ; соответствующие аппроксимации  $V_c(u)$  обозначены черными линиями; всюду  $m = 2$ .



при  $n = 2$



при  $n = 8$

Рис. 7: Графики  $V(u)$  при  $n = 2$  (красная линия),  $n = 8$  (оранжевая) и соответствующие  $E_{min}$  (обозначены черным штрихом);  $m = 2$ .

## 5 Итог и дальнейшая работа

Был выполнен приближенный анализ потенциала при различных  $n$  с помощью известных решений уравнения Шрёдингера. Результаты, полученные при подобном анализе, указывают на устойчивость решений, за исключением некоторой области параметров, где решения неустойчивы.

Возникают вопросы, касательно точности подобного анализа. К примеру, на рисунке 5 при  $n = 10$  уровень  $E_{min}$  существенно выше минимума потенциала, в котором производилось разложение до квадратичного порядка, справа  $E_{min}$  опирается на видимую часть потенциала, левая же точка лежит в отрицательных значениях  $u$  [потенциал  $V(u)$  симметричен относительно нуля]. Для  $n = 11$  и  $n = 12$  рисунка 5 уровни  $E_{min}$  хоть и опираются на потенциал в положительных значениях  $u$ , всё еще находятся достаточно высоко от минимума. При  $1 < n < 10$ , из-за сложностей выбора точек при аппроксимации потенциалов, получившиеся уровни  $E_{min}$  находятся уж слишком высоко [рис. 7].

В дальнейшем можно численно найти стационарные уровни энергии [не только минимальные] для различных  $n$ .